

УДК 539.219.3.519.001.57

## ДИНАМИЧЕСКОЕ ПРОТЕКАНИЕ ПРИ ДИФФУЗИИ В НЕОДНОРОДНЫХ ТВЕРДОТЕЛЬНЫХ СИСТЕМАХ

*И. Я. Кановский, И. В. Удовичкий*

Методом Монтэ-Карло моделируется диффузия в неоднородной двумерной системе с учетом движения областей повышенной подвижности атомов. Показано, что скорость проникновения диффундирующего вещества обнаруживает критическое поведение слева от порога перколяции. Получены значения критического индекса и профиля распределения концентрации вещества по глубине.

При диффузионном насыщении твердотельных систем во многих случаях происходит процесс проникновения легирующего вещества в резко неоднородную матрицу, состоящую из смеси различных фаз, сильно отличающихся по величине коэффициента диффузии. Как правило, дислокационные трубки, скопления вакансий, межзеренные границы являются проводниками диффундирующих атомов [1, 2]. Все это требует учета неоднородности матрицы при рассмотрении диффузионных процессов в большинстве твердотельных систем. В особых случаях неоднородность системы проявляется в максимальной степени. Так, например, области жидких или газовых фаз в твердом теле обладают коэффициентом диффузии, на много порядков превышающим твердотельный. Если система расплавленных участков или пор является связанной, то диффузией по твердотельной матрице можно пренебречь. В этом случае процесс проникновения вещества в образец определяется геометрией распределения участков с большой подвижностью атомов, а возникающая задача описания диффузии может быть сведена к задаче о возникновении бесконечного кластера связанных между собой областей с высоким коэффициентом диффузии, пронизывающих весь образец. Такого рода задачи хорошо изучены в теории перколяции [3, 4]. Отличие возникающей здесь ситуации состоит в том, что области высокой подвижности атомов сами могут двигаться [5], причем скорость их движения значительно меньше скорости диффузии в областях с высоким коэффициентом диффузии и больше, чем скорость диффузии в областях с низким коэффициентом диффузии.

Примером описанного выше механизма диффузионного насыщения может служить химико-термическая обработка эвтектических систем при температурах, близких к температуре плавления эвтектики [6]. В этом случае расплавленные области образуются в местах флуктуаций температуры, и концентрации и могут достаточно активно двигаться внутри твердотельной матрицы из-за наличия случайного поля флуктуаций различных физических параметров.

Моделирование указанной ситуации будем проводить на дискретной решетке. Пусть в решетке каждый узел может либо допускать диффузию через него (неблокированный узел), либо не допускать (блокированный узел). В первом случае он заменяет область высокой подвижности диффундирующих атомов, во втором — малой подвижности. Непубликованные узлы могут хаотически блуждать по решетке, перенося с собой диффундирующее вещество. При контакте неблокированных узлов диффундирующее вещество распределяется между ними равномерно. Задача

состоит в изучении скорости переноса диффундирующего вещества и характера его распределения в пространстве.

Расчет проводился путем имитации описанной модели на ЭВМ методом Монте-Карло. Для упрощения задачи рассматривалась двумерная решетка. В момент времени  $t=0$  полагалось, что на край решетки наносится определенное конечное количество вещества и изучалось его перемещение в пространстве. За единицу времени  $\tau$  выбиралось время перемещения не заблокированного узла в соседний узел решетки. Вероятность перемещения полагалась одинаковой для всех направлений.

Распределение диффундирующего вещества определяется концентрацией  $X$  не заблокированных узлов. В рамках рассматриваемой модели при  $X > X_c$ , где  $X_c$  — порог протекания [3], будет происходить распространение вещества сразу на глубину всей сетки. В исследуемом диапазоне

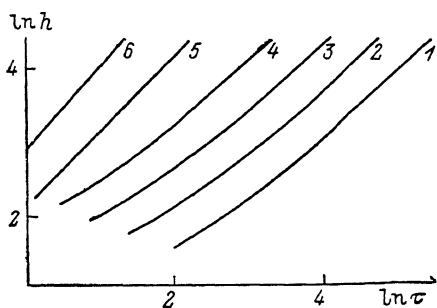


Рис. 1 Зависимость глубины протекания от времени для различных концентраций не заблокированных узлов.

1 —  $X=0.1$ , 2 — 0.2, 3 — 0.3, 4 — 0.4, 5 — 0.5, 6 — 0.56.

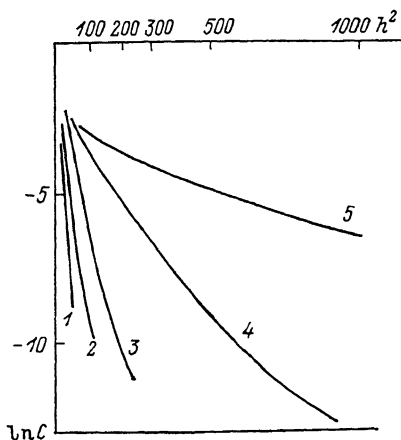


Рис. 2. Профиль распределения диффундирующего вещества для различных концентраций не заблокированных областей.

1 —  $X=0.1$ , 2 — 0.2, 3 — 0.3, 4 — 0.4, 5 — 0.5 (время  $t=5 \tau$ ).

концентраций  $X < X_c$  распространение диффундирующего вещества будет происходить на конечную глубину  $h$ , которая зависит от времени. Эту зависимость можно представить в виде  $h=vt^\beta$ .

На рис. 1 приведены кривые зависимости  $h$  от  $t$  для различных  $X$ , полученные в результате моделирования процесса на ЭВМ.

В исследуемой задаче существуют два механизма переноса диффундирующего вещества. С одной стороны, диффундирующее вещество проникает в глубь образца вследствие хаотических блужданий, содержащих его не заблокированных узлов. Этот механизм аналогичен обычному диффузионному массопереносу с той разницей, что перемещается не отдельный атом, а содержащие их области с характерным размером порядка периода исследуемой решетки и временем перехода  $\tau$ . За счет контакта между не заблокированными областями происходит быстрое распределение диффундирующего вещества. При этом глубина проникновения зависит от размера совокупности связанных между собой областей, т. е. размера кластера. При больших  $X$  превалирующим является механизм перколяционного переноса, а при малых — диффузионного. Концентрацию  $X_L$ , разделяющую области, в которых преимущественным является один из механизмов, можно оценить из равенства среднего размера кластера  $R_{cl}$  среднему расстоянию между не заблокированными узлами  $L$ . Предполагая, что размер кластера описывается соотношением  $R_{cl}=(X_c-X)^{-\nu}$  даже при малых  $X$ , для двумерной квадратной решетки  $\nu=1.33$ ,  $X_c=0.59$  [4],  $L=X^{-1/2}$  из  $R_{cl}=L$  следует граничная концентрация  $X_L=0.13$ .

При  $X < X_L$  значение  $\beta$  должно быть близко к характерному для диффузионных процессов значению  $\beta=1/2$ . Однако с течением времени за счет

контакта между неблокированными узлами в глубине решетки происходит увеличение числа неблокированных узлов, содержащих диффузант. Это приводит к росту значения  $\beta$  со временем даже при малых  $X$ . Характерное время  $T_L$ , за которое происходит изменение  $\beta$ , можно оценить как время прохождения диффузионным путем среднего расстояния между неблокированными узлами. Учитывая, что  $L = X^{-1/2}$ , диффузионный путь равен  $t^{1/2}$ , получаем  $T_L = 1/X$ .

Из рис. 1 следует, что при преимущественно перколяционном механизме переноса  $\beta \rightarrow 1$ . Это соответствует продвижению диффузионного фронта на одинаковую глубину, определяемую значением  $X$ , за равные промежутки времени. Величину  $v$  в этом случае можно трактовать как скорость протекания.

Вблизи порога протекания функция  $v(X)$  неаналитична и определяется стандартной для критического поведения систем зависимостью

$$v = v_0 (X_c - X)^{-\alpha},$$

где  $\alpha$  — критический индекс. По результатам моделирования  $\alpha = 0.9 \pm 0.1$ .

Из общего числа неблокированных областей  $N$  через время  $t$  некоторая часть  $N_1$  будет содержать диффундирующее вещество. Ясно, что  $N_1$  возрастает с течением времени и зависит от характера распределения неблокированных областей. В результате машинных экспериментов установлено, что на глубине фронта диффузии доля содержащих диффундирующее вещество областей  $N_{1h}/N_h$  в пределах ошибки эксперимента является величиной, не зависящей от времени диффузии и концентрации неблокированных областей  $X$ . Величина  $N_{1h}/N_h = 0.8 \pm 0.05$ .

Изучение влияния размеров рассматриваемой области на результаты моделирования показало, что решетка из  $80 \times 80$  узлов обеспечивает их нечувствительность к изменению размеров. При этом каждый модельный опыт на ЭВМ повторялся не менее 40 раз, что обеспечивает на всех представленных кривых относительную погрешность менее 10 %.

Практическое значение имеет получаемое в результате исследуемой динамической перколяции распределение концентрации диффундирующего вещества по глубине. Естественно, что оно определяется конкуренцией рассмотренных двух механизмов переноса вещества: быстрого чисто перколяционного и за счет движения включений, содержащих диффундирующее вещество. В случае  $X < X_L$  и  $t < T_L$  преобладающим является второй механизм, и распределение усредненной концентрации диффундирующего вещества с глубиной удовлетворительно описывается стандартным соотношением

$$C(h, t) = \frac{q}{2(\pi D_{\text{eff}} t)^{1/2}} \exp\left(-\frac{h^2}{4D_{\text{eff}} t}\right),$$

где  $D_{\text{eff}}$  — эффективный коэффициент диффузии. При росте  $X$  и приближении его к порогу протекания  $X_c$  отклонение  $C(h, t)$  от этого закона становится существенным, причем усредненная концентрация диффундирующего вещества уменьшается с глубиной медленнее вследствие подключения статического перколяционного механизма. На рис. 2 представлена зависимость концентрации диффундирующего вещества от глубины. Видно, что при  $X > X_L$  отклонение от квадратичного закона зависимости  $\ln C(h, t)$  от  $h$  становится существенным и зависимость  $\ln C(h, t)$  переходит в линейную.

Таким образом, в сильно неоднородных твердотельных системах, состоящих из фаз с высокой и низкой подвижностью диффундирующего вещества, массоперенос имеет свои особенности. При движении областей усредненной диффузии возможен новый механизм переноса, который по аналогии с перколяцией можно назвать динамической перколяцией. Главное экспериментальное проявление этого механизма — отклонение от обычных законов распределения диффундирующего вещества по глубине образца. Эти особенности диффузионного переноса должны проявляться прежде всего при высокотемпературной химико-термической обра-

ботке, когда диффузия происходит в экстремальных условиях с переходом отдельных областей образца в фазу с коэффициентом диффузии, отличающимся от твердотельного на порядки.

#### Л и т е р а т у р а

- [1] *Бокиштейн В. С.* Диффузия в металлах. М.: Металлургия, 1978. 248 с.
- [2] *Pike G. E., Camp W. J., Seager C. H., McVay G. L.* Phys. Rev. B, 1974, vol. 10, p. 4909—4917.
- [3] *Эфрос А. Л.* Физика и геометрия беспорядка. М.: Наука, 1982. 176 с.
- [4] *Шкловский В. И., Эфрос А. Л.* Электронные свойства легированных полупроводников. М.: Наука, 1979. 416 с.
- [5] *Геузун Я. Е., Кривоглаз М. А.* Движение микроскопических включений в твердых телах. М.: Металлургия, 1971. 344 с.
- [6] *Горбач В. Г., Кановский И. Я., Ницович В. М., Удoviцкий В. И.* ДАН УССР, 1987, № 1, с. 72—74.]

Черновицкий  
государственный университет  
Черновцы

Поступило в Редакцию  
11 августа 1987 г.  
В окончательной редакции  
21 декабря 1987 г.

